

# HINA Project



(**H**ighly charged **I**ons for **N**uclear physics and **A**strophysics)



Journée des AP du Pôle Physique Nucléaire 12 juin 2024

**Sarah Naimi**

## Chercheurs



Serge Della Negra



Vladimir Manea



Maroua Benhatchi

## Support technique



Isabelle Ribaud



Denis Reynet



François Daubisse



Alexandre Migayron



Bruno  
MERCIER



Hervé  
Lefort



Philippe  
GAURON

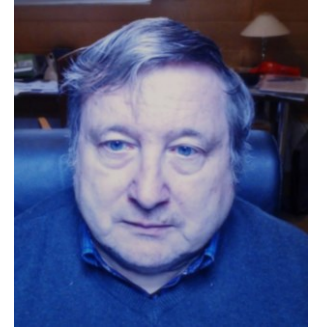
## Collaborateurs externes (MPIK)



José Crespo



Klaus Blaum



Manfred Grieser

## Stagiaires M1/L3



Sophie, Amelle, Sarah  
Damien, Maxime

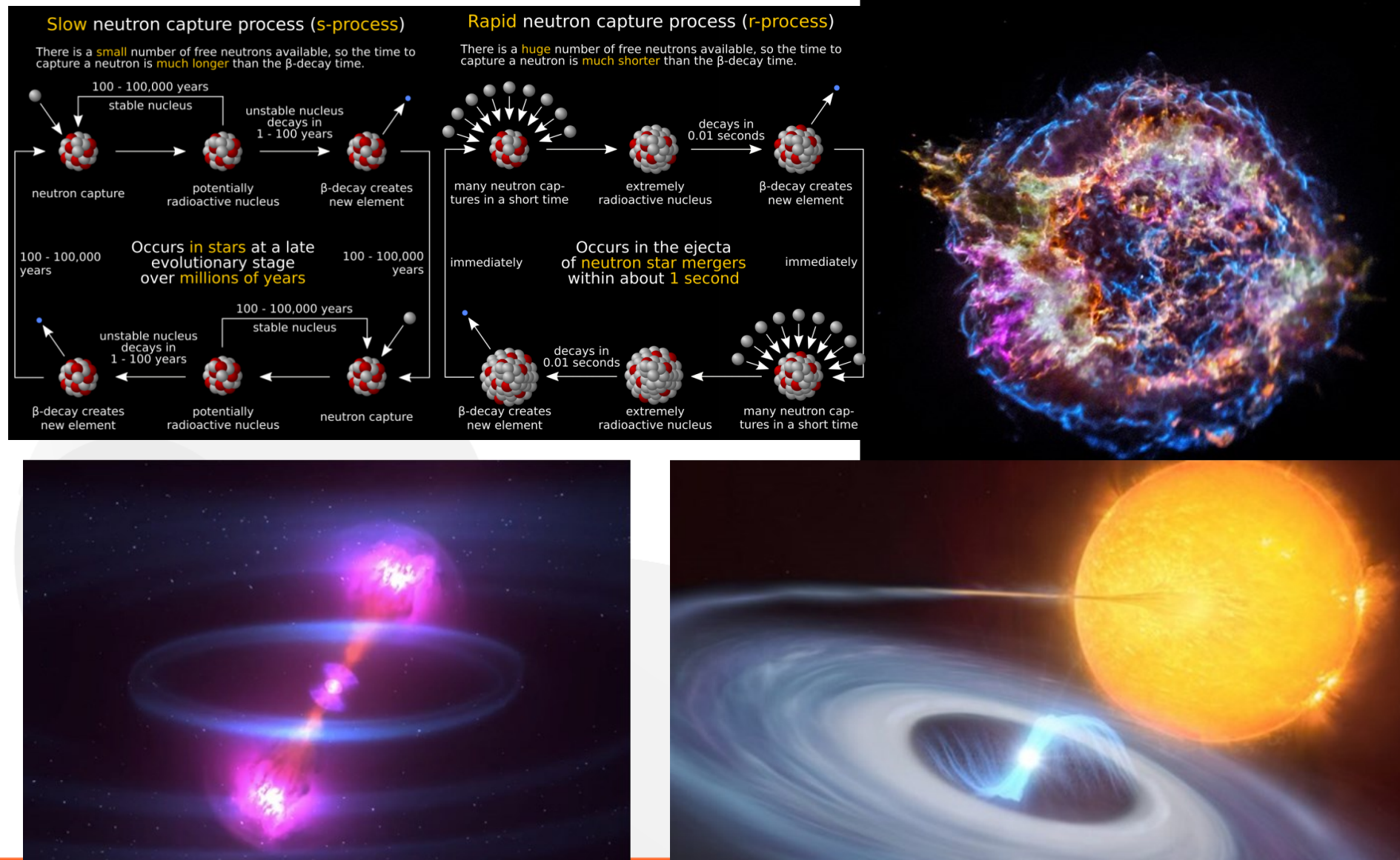


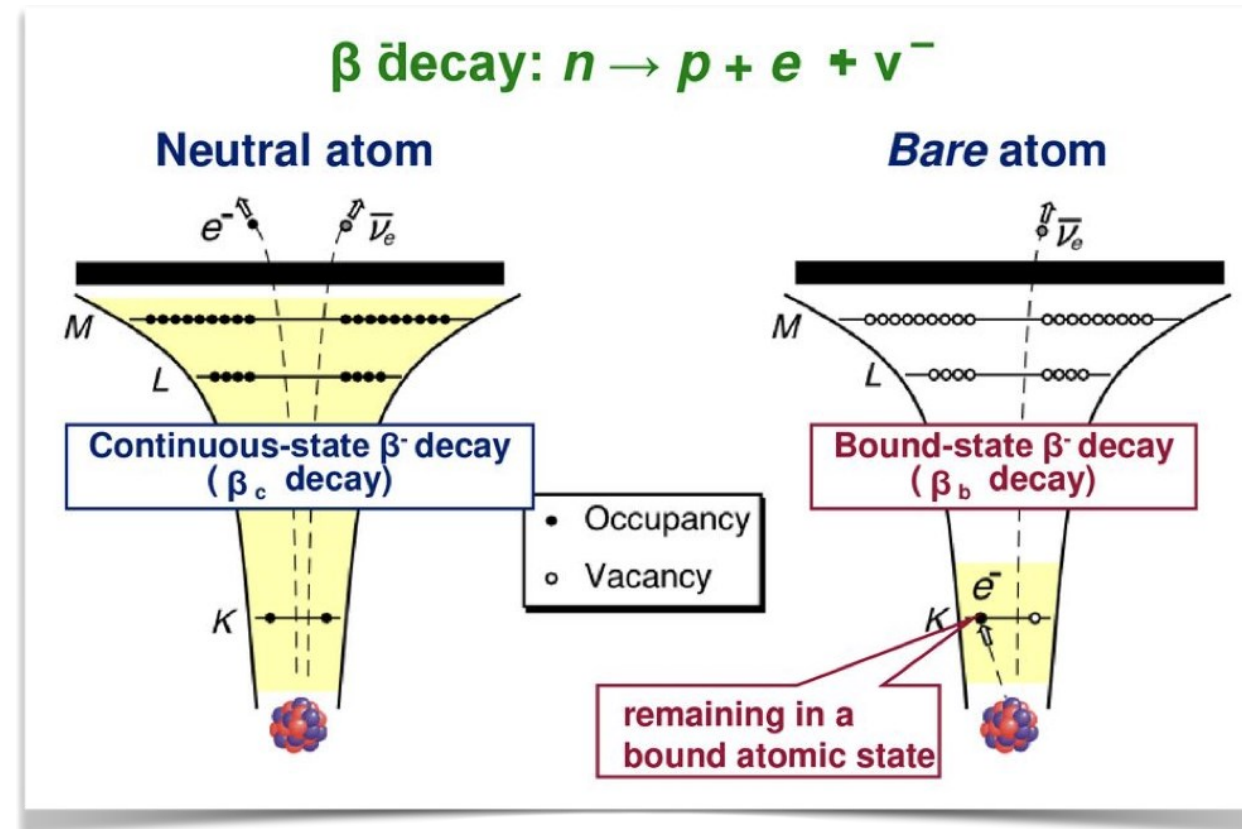
# Quel lien avec l'astrophysique ?

Dans le milieu stellaire les noyaux se trouvent dans des ions fortement chargés, même totalement épluchés!

La majorité des noyaux sont instables et leur décroissance joue un rôle décisif dans la nucléosynthèse.

*Peut être modifiée en fonction de l'état de charge.*





$$Q_{\beta_b}(K, L, \dots) = Q_{\beta_c^-} - |\Delta B_{e^-}| + |B_{e^-}^{K, L, \dots}|$$

$^{163}\text{Dy}^0$  stable  $\rightarrow$   $^{163}\text{Dy}^{66+}$  instable

49keV

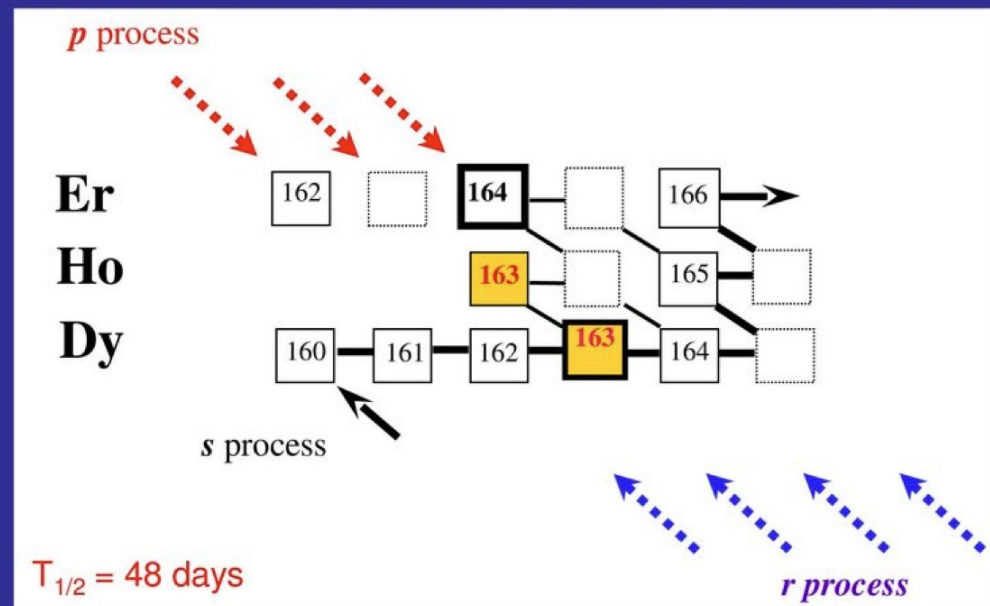
-2,8keV

13keV

65keV

## Bound-State $\beta$ -decay of $^{163}\text{Dy}$

**s process:** slow neutron capture and  $\beta$ - decay near valley of  $\beta$  stability at  $kT = 30$  keV;  $\rightarrow$  high atomic charge state  $\rightarrow$  bound-state  $\beta$  decay



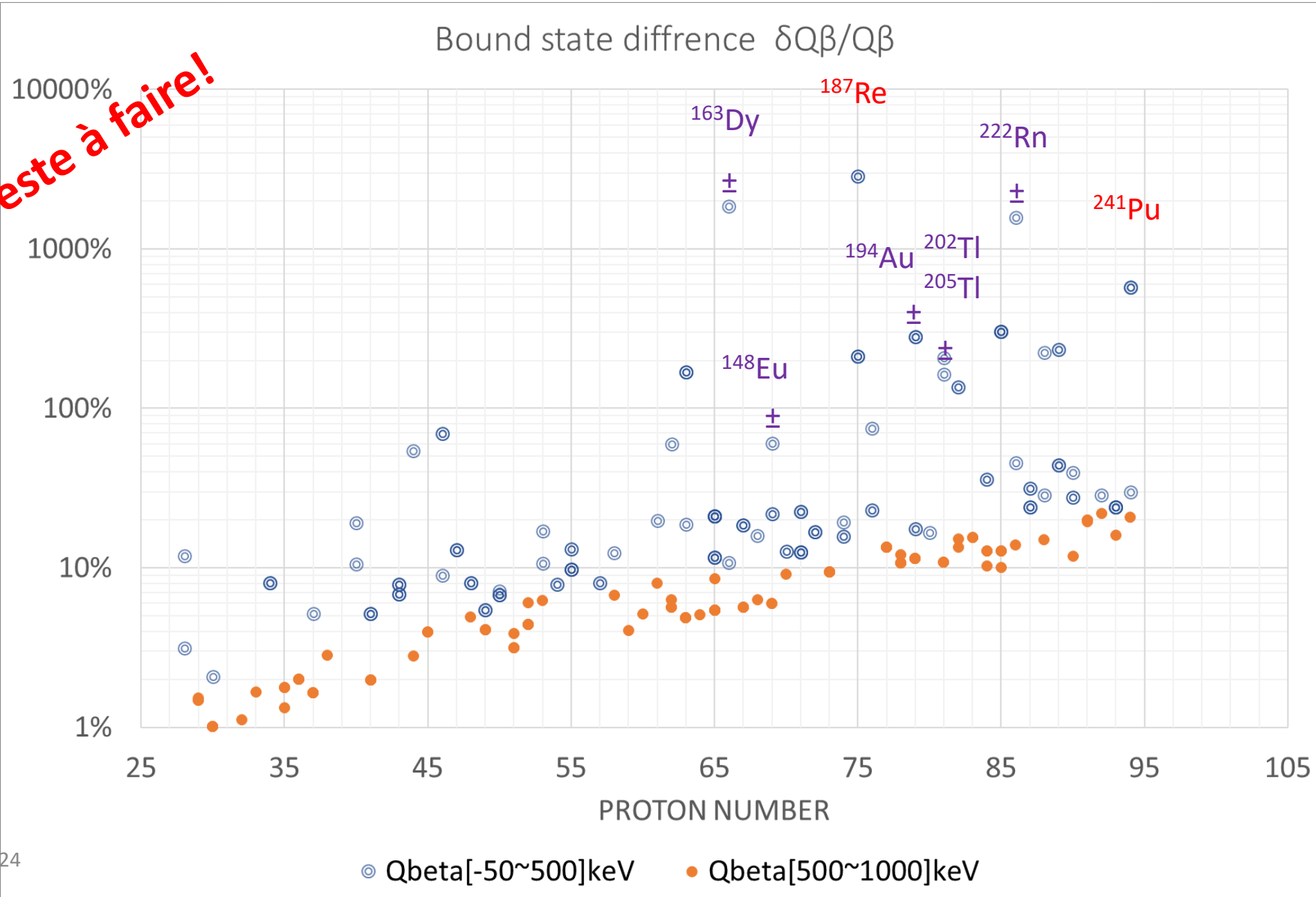
branchings caused by bound-state  $\beta$  decay

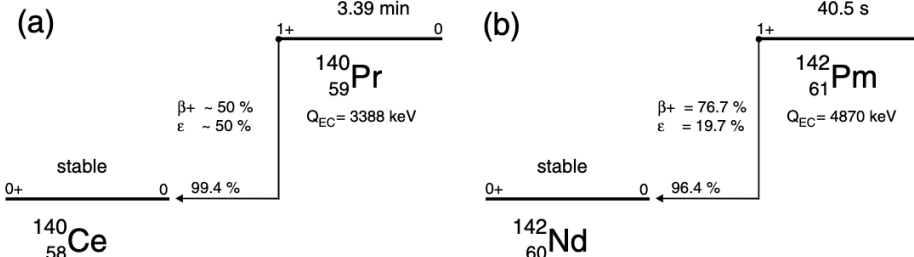
M. Jung et al., Phys. Rev. Lett. 69 (1992) 2164

$$Q_{\beta_b}(K, L, \dots) = Q_{\beta_c^-} - |\Delta B_{e^-}| + |B_{e^-}^{K, L, \dots}|$$

Beaucoup reste à faire!

Bound state difference  $\delta Q\beta/Q\beta$



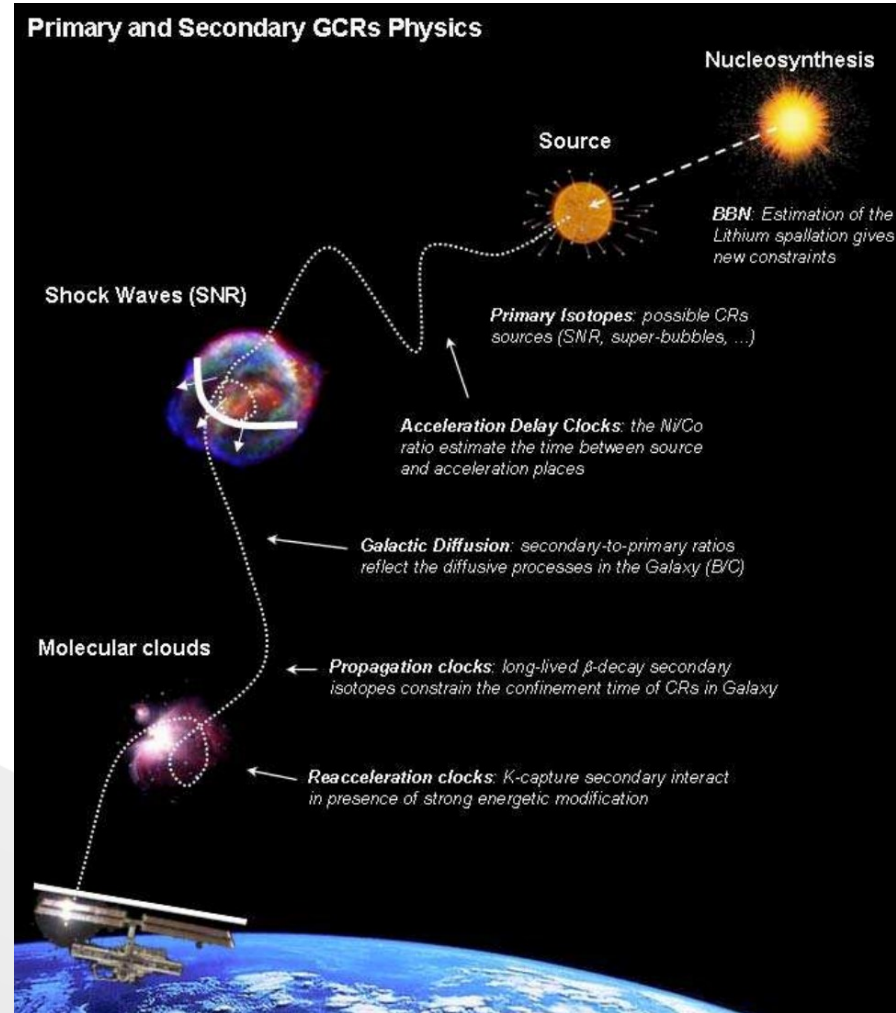
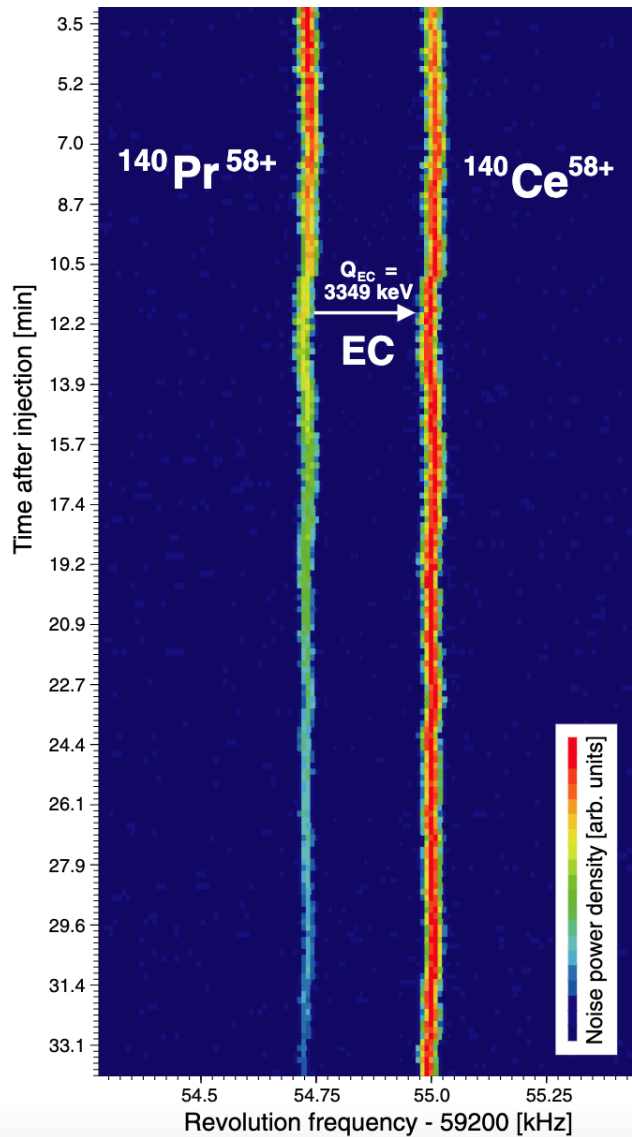


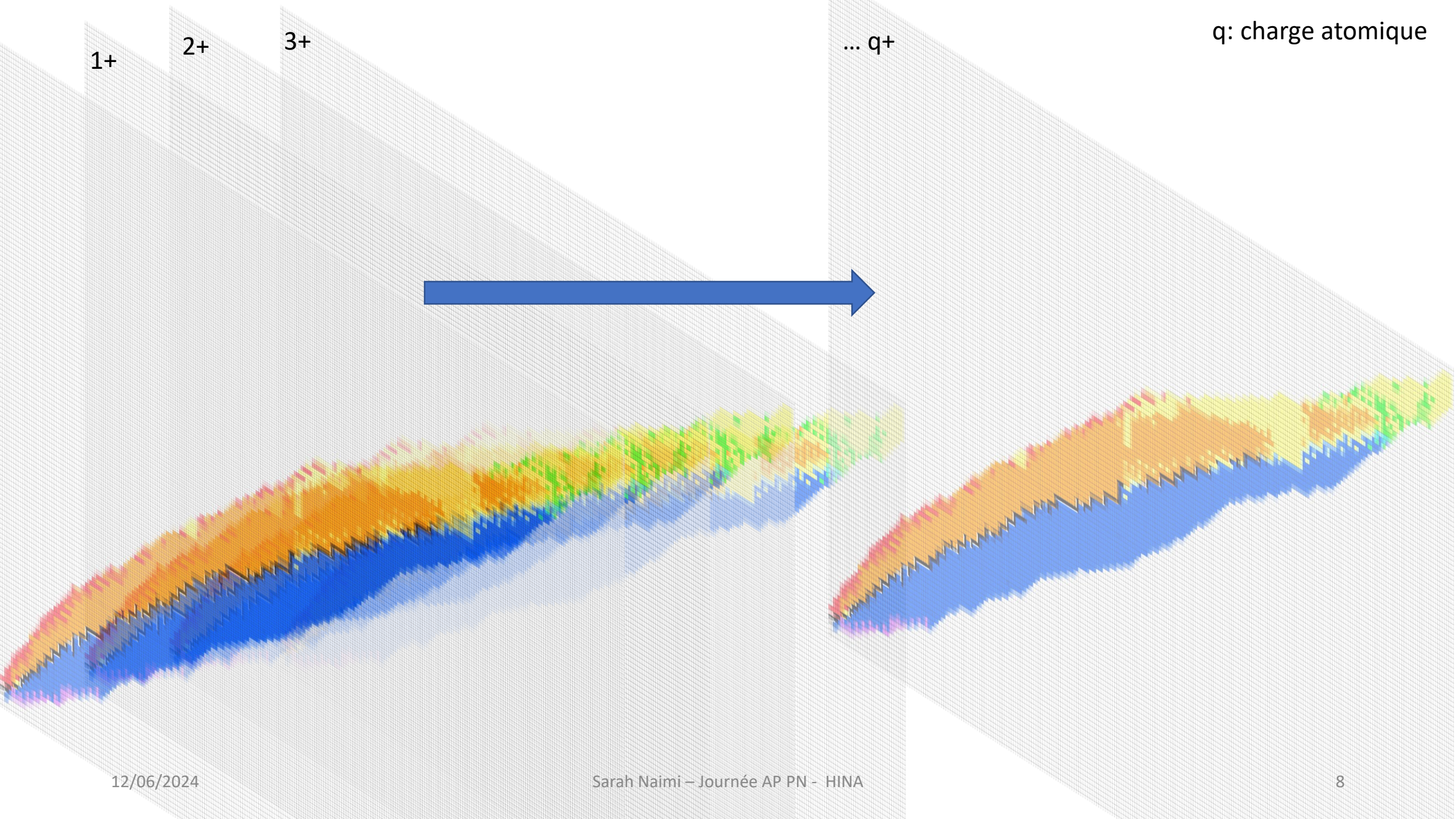
Measured @GSI

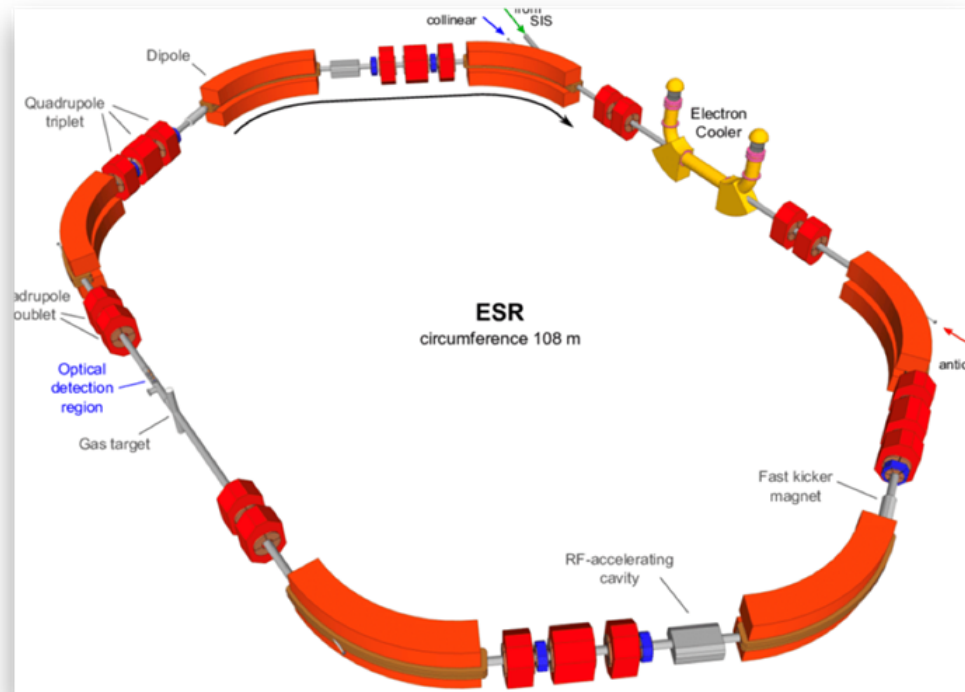
| Ion                     | $\lambda_{\beta^+} (\text{s}^{-1})$ | $\lambda_{\text{EC}} (\text{s}^{-1})$ | $\frac{\lambda_{\text{EC}}}{(\lambda_{\beta^+} + \lambda_{\text{EC}})}$ |
|-------------------------|-------------------------------------|---------------------------------------|---|
| $^{140}\text{Pr}^{58+}$ | 0.001 61(10)                        | 0.002 19(6)                           | $(57.6 \pm 2.3)\%$  |
| $^{140}\text{Pr}^{57+}$ | 0.001 54(11)                        | 0.001 47(7)                           | $(48.8 \pm 3.1)\%$  |
| $^{140}\text{Pr}^{0+}$  | 0.001 74(5)                         | 0.001 65(5)                           | $(48.7 \pm 1.8)\%$  |
| $^{142}\text{Pm}^{60+}$ | 0.012 6(3)                          | 0.005 1(1)                            | $(29.0 \pm 1.3)\%$  |
| $^{142}\text{Pm}^{59+}$ | 0.013 9(6)                          | 0.003 6(1)                            | $(20.2 \pm 1.0)\%$  |
| $^{142}\text{Pm}^{0+}$  | 0.013 2(5)                          | 0.003 9(5)                            | $(22.9 \pm 2.7)\%$  |

EC rate depends on the occupied electron shells

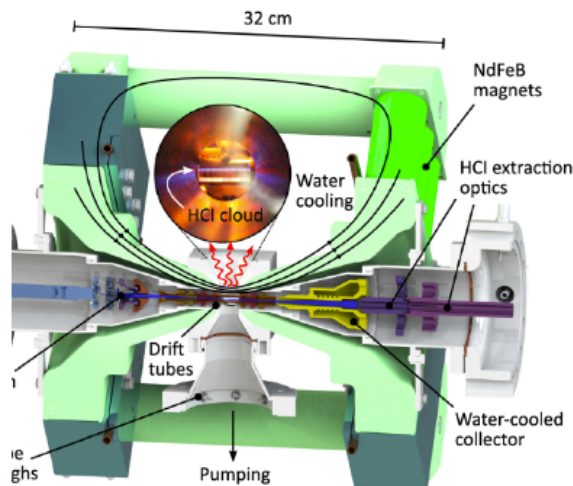
Z. Patyk et al. PRC77, 2008



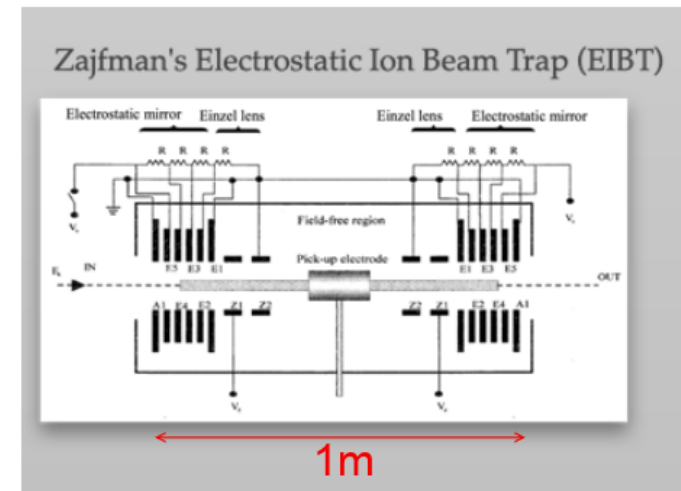




Instrument alternative: Pièges à ions  
plus petit, moins cher, plus performant



**Avantages:**  
Eco / coût  
opération offline possible  
confinement en espace  
→ détection de la radiation

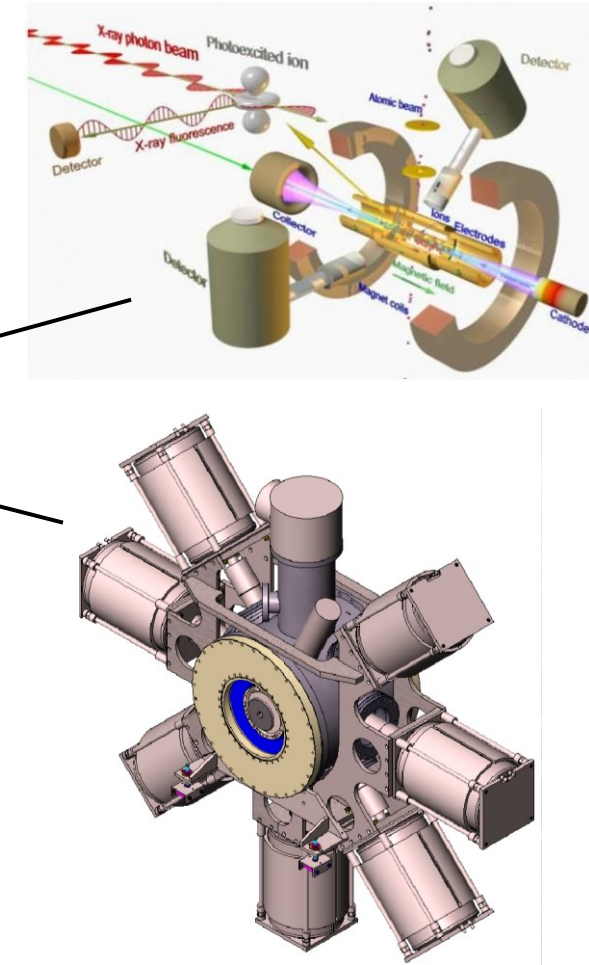
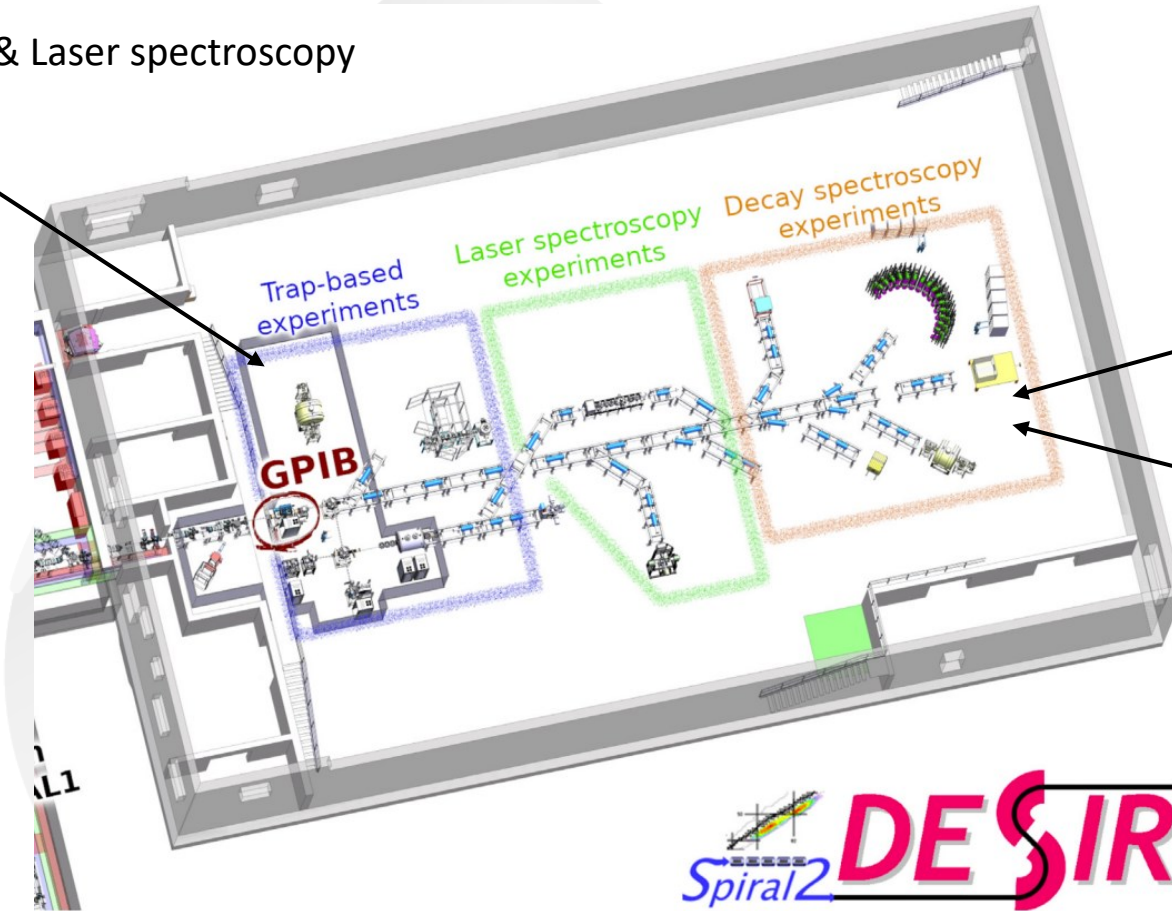
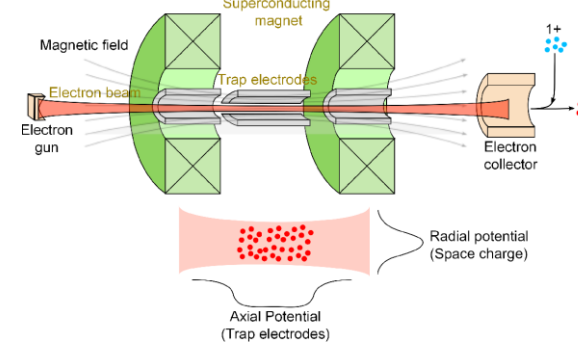


**Inconvénients :**  
confinement en espace  
→ effets charge d'espace

## HINA project (Highly charged Ions for Nuclear physics and Astrophysics)

High precision mass measurements & Laser spectroscopy

$$\frac{m}{\Delta m} \propto \frac{q \cdot B}{m} \cdot T_{RF} \sqrt{N}$$



Under development @IJCLab

# mosaic

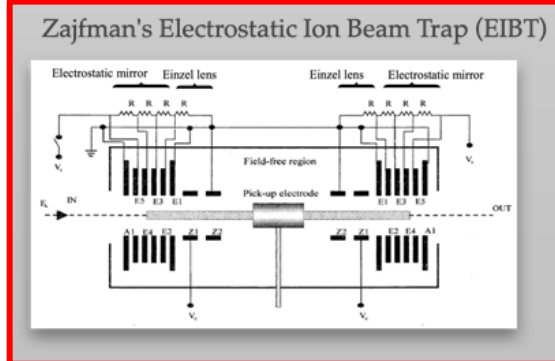
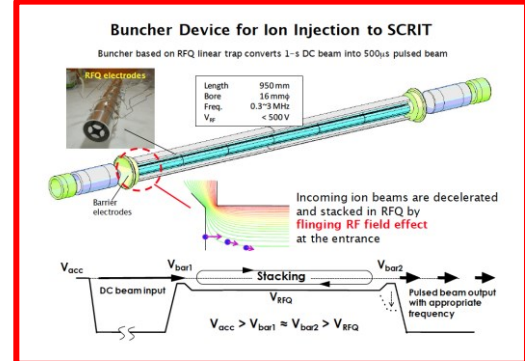
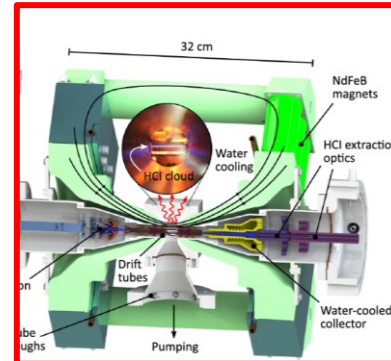
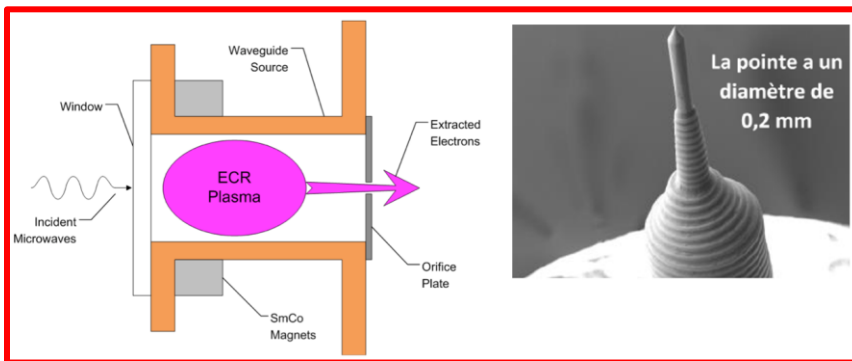
## Les outils à développer à IJCLab

Production  
(ECR/LMIS)

Charge  
breeding

Accumulate  
Cool

Trapping  
Observation



Serge Della Negra



Amelle  
Khamkham  
(M1)



Damien  
Jacquemin  
(L3)



Michele Sguazzin  
(postdoc in2p3)



David Lunney



Maroua Benhatchi  
PhD (IJCLab)



Sarah Hussein  
(M1)



Maxime Duval  
(L3)



Amelle  
Khamkham  
(M1)



Michele  
Sguazzin  
(postdoc  
in2p3)

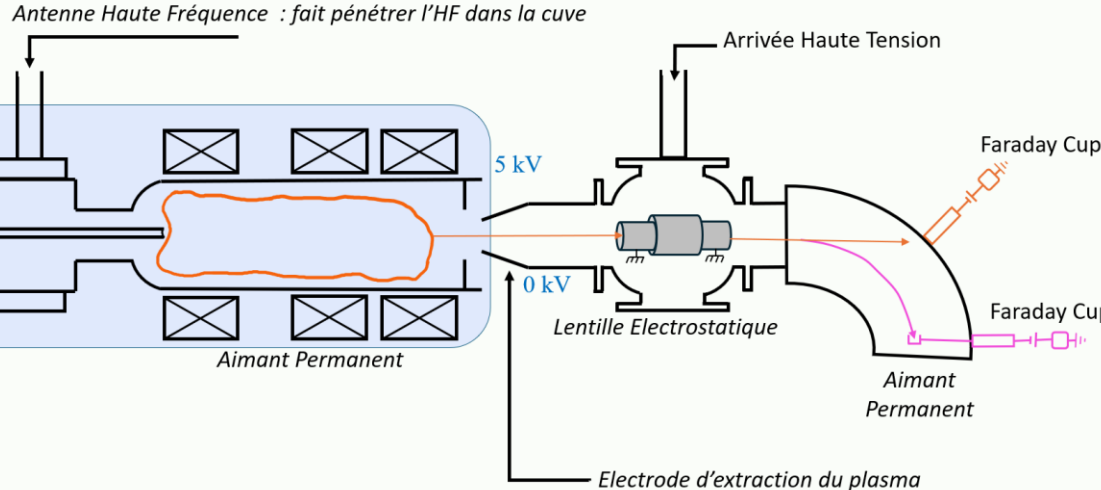
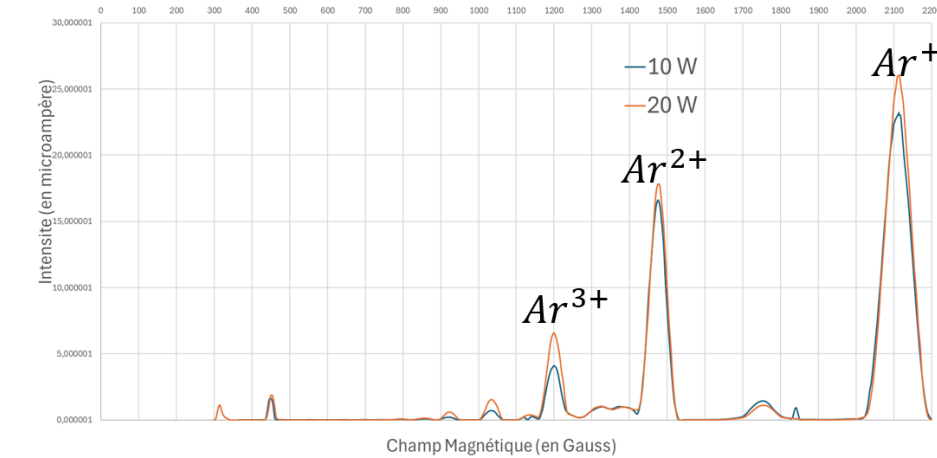
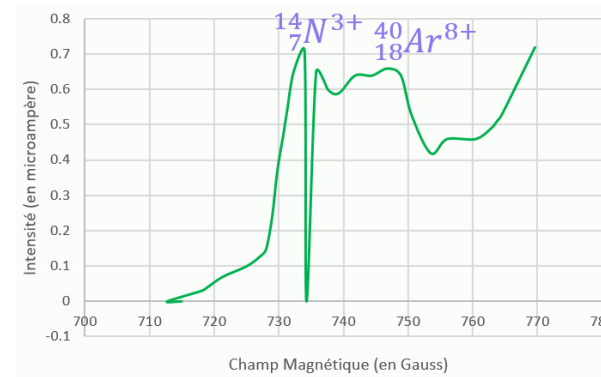
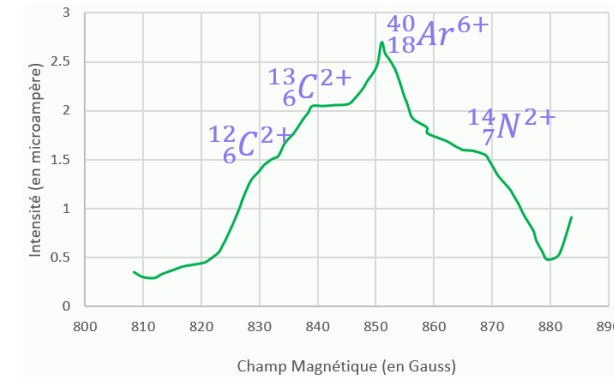
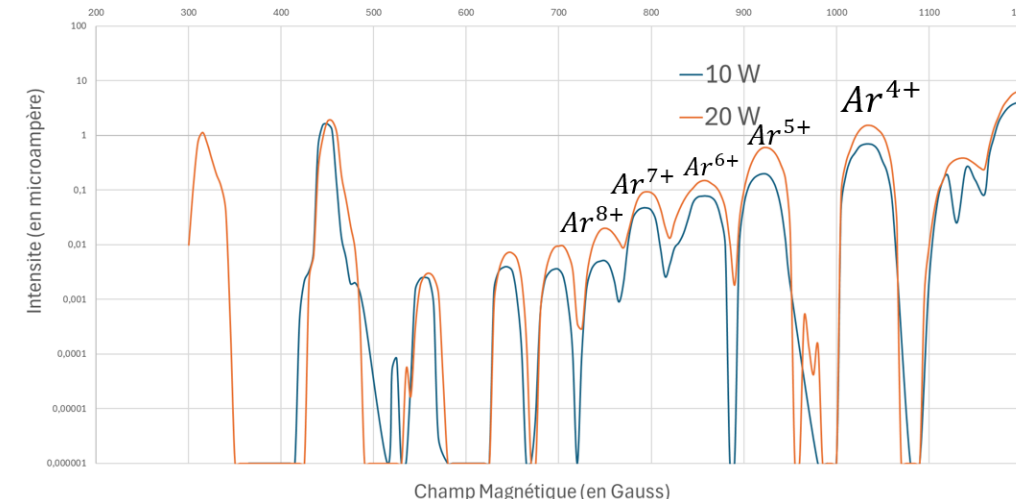


Schéma de la source TANCREDE

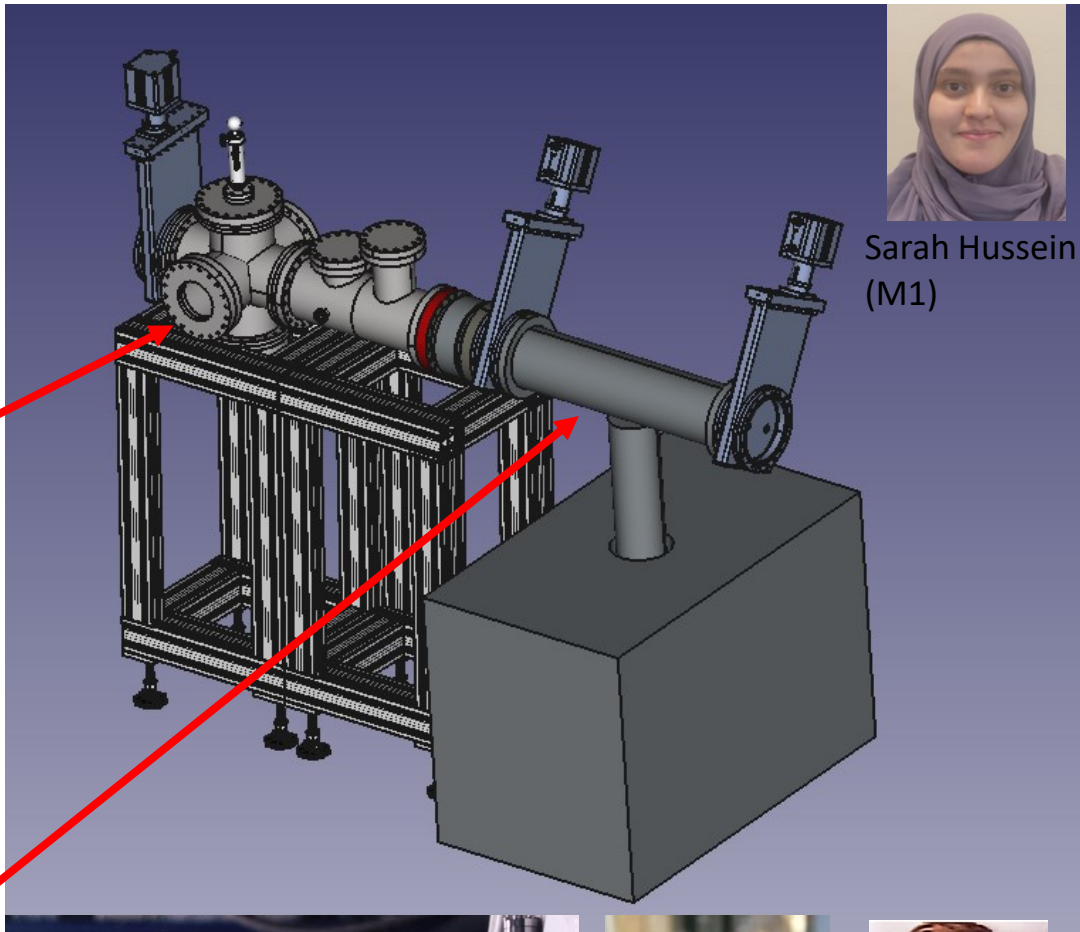
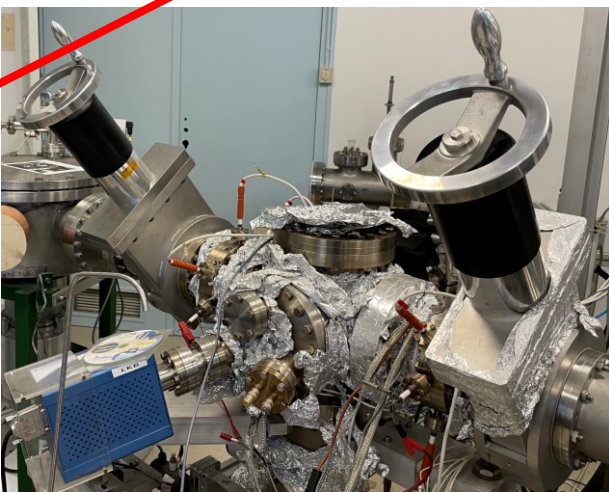
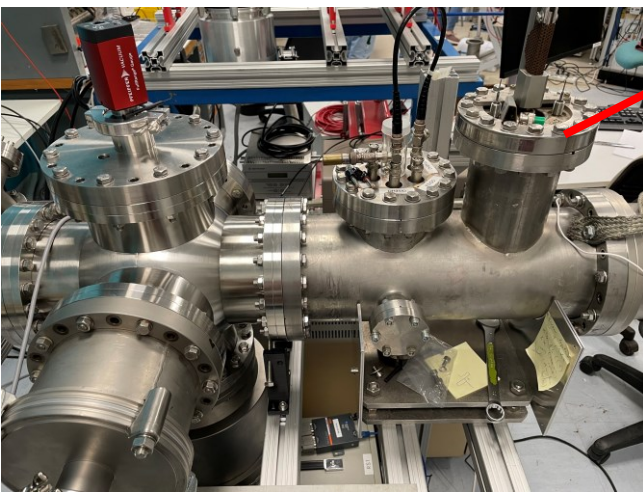


Spectre Argon multi-chargé (courant en fonction du champ magnétique)  
Comparaison entre 10 W et 20 W de puissance, à 10 kV



**mosaic**

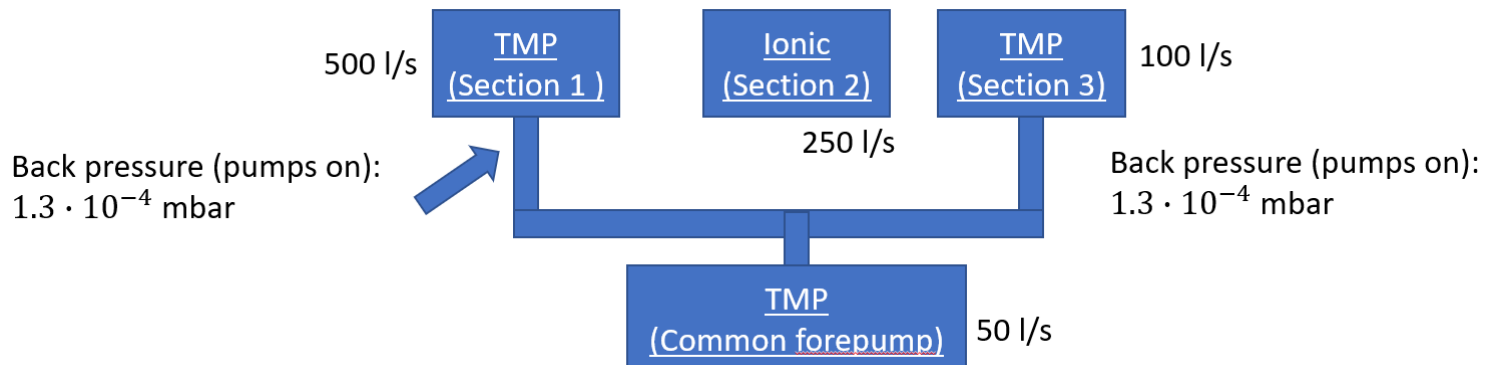
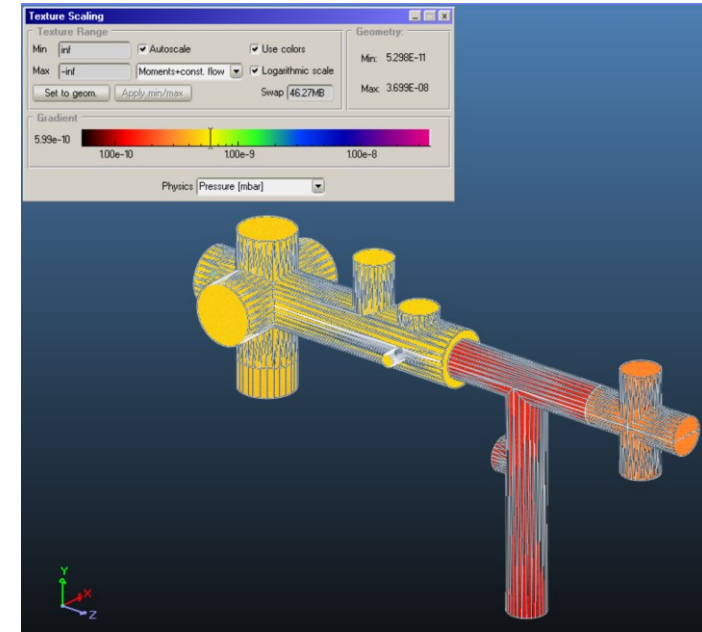
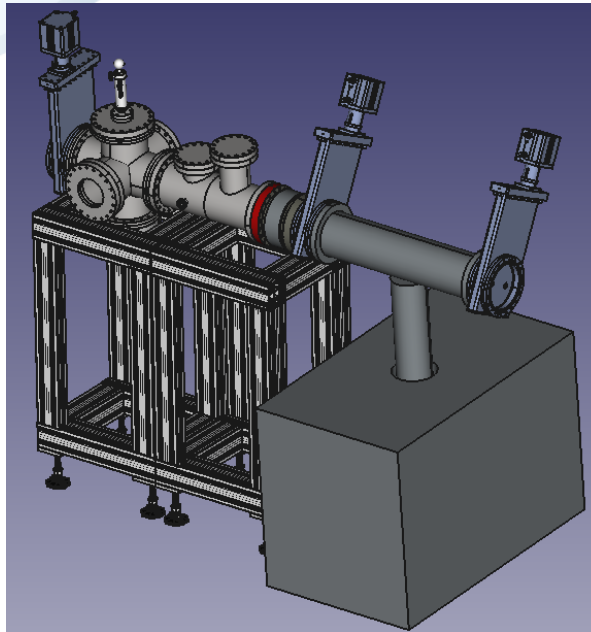
Tancrede Facility

Sarah Hussein  
(M1)Maroua Benhatchi  
(PhD)      Maxime Duval  
(L3)

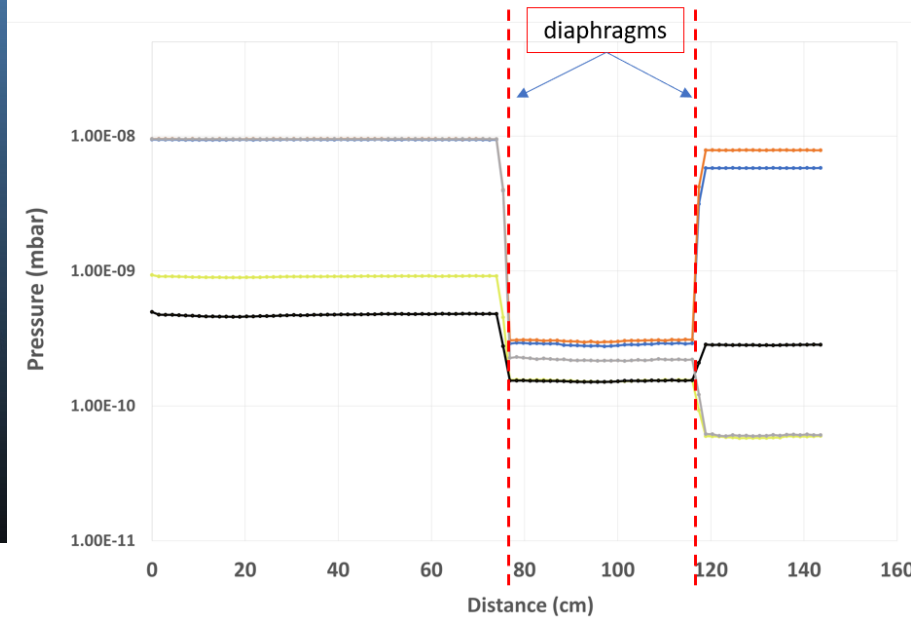


Michele  
Sguazzin  
(postdoc  
in2p3)

# Simulation for vacuum (Molflow)

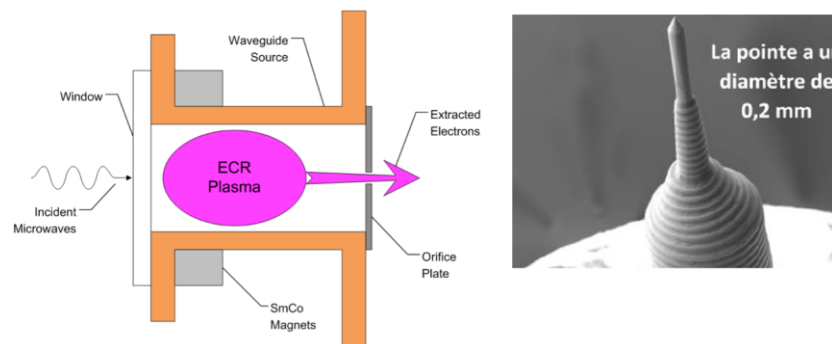


Partial pressure of  $H_2$



A Valider!

# mosaic



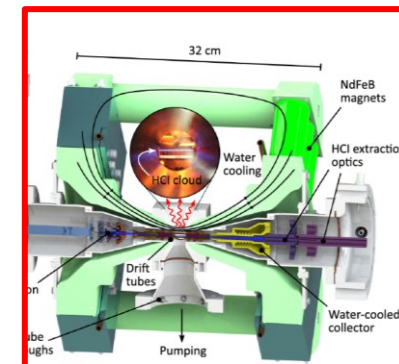
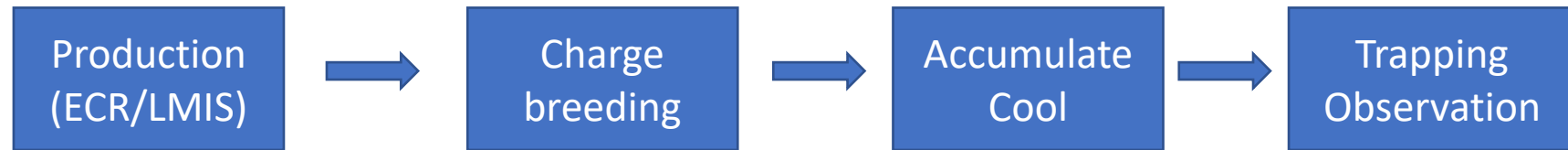
Serge Della Negra



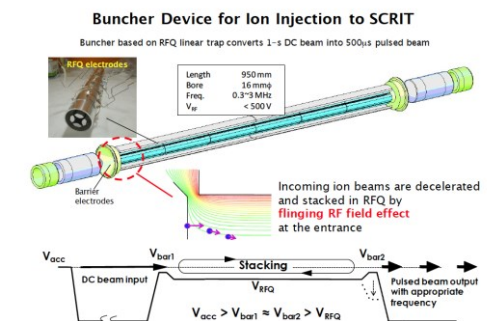
Amelle  
Khamkham  
(M1)



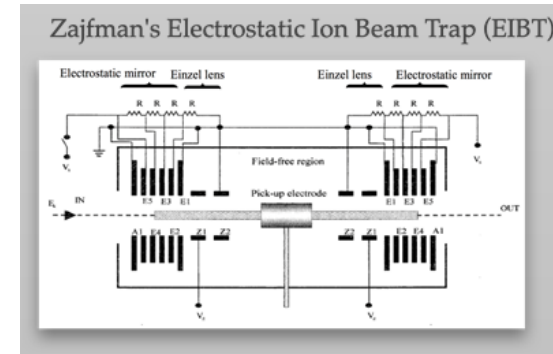
Damien  
Jacquemim  
(L3)



Michele Sguazzin  
(postdoc in2p3)



David Lunney



## Maroua Benhatchi PhD (IJCLab)



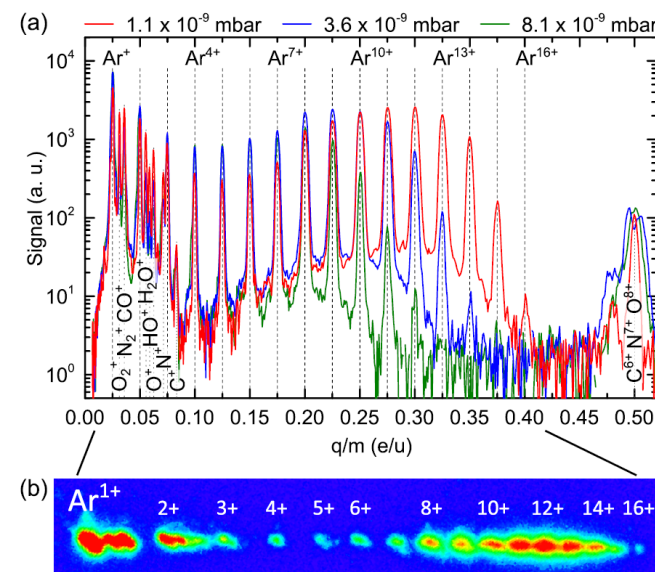
Sarah Hussei  
(M1)



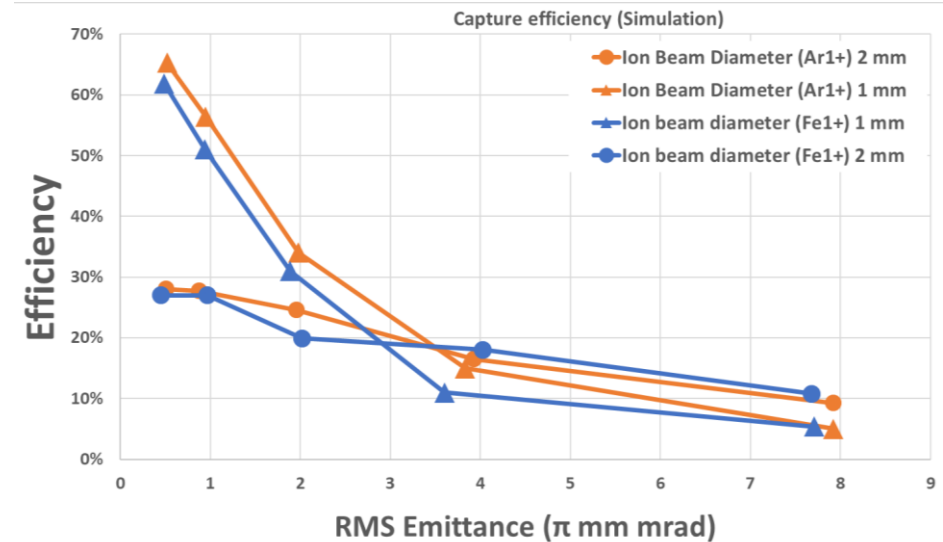
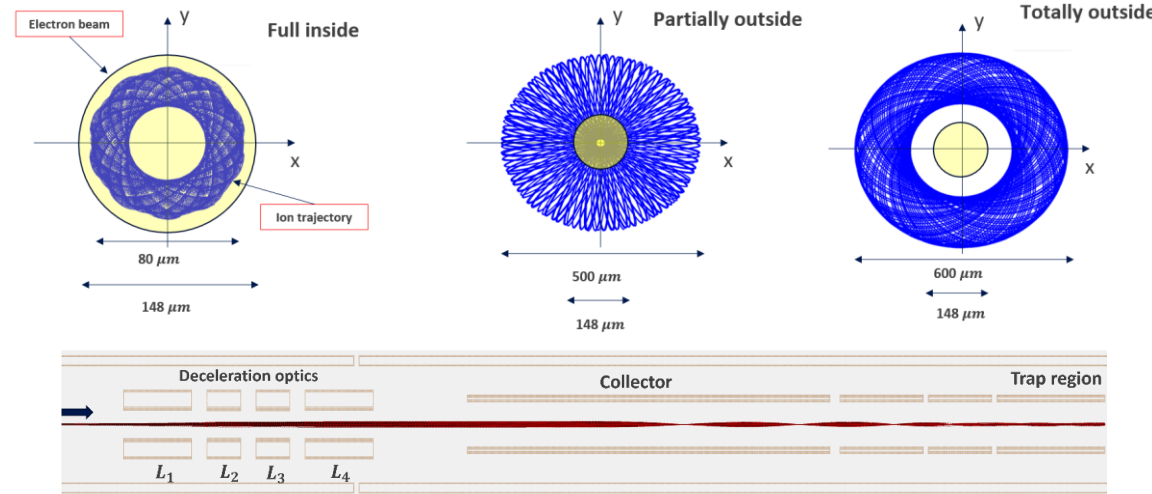
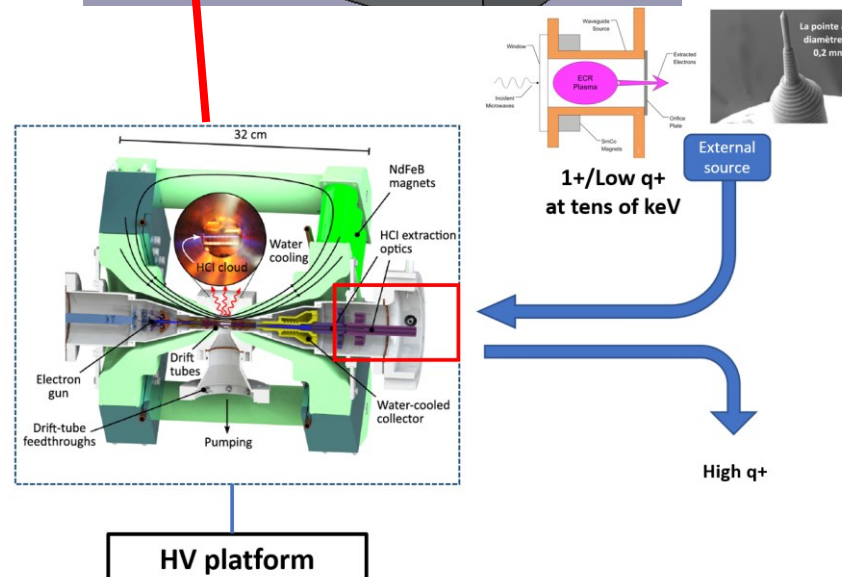
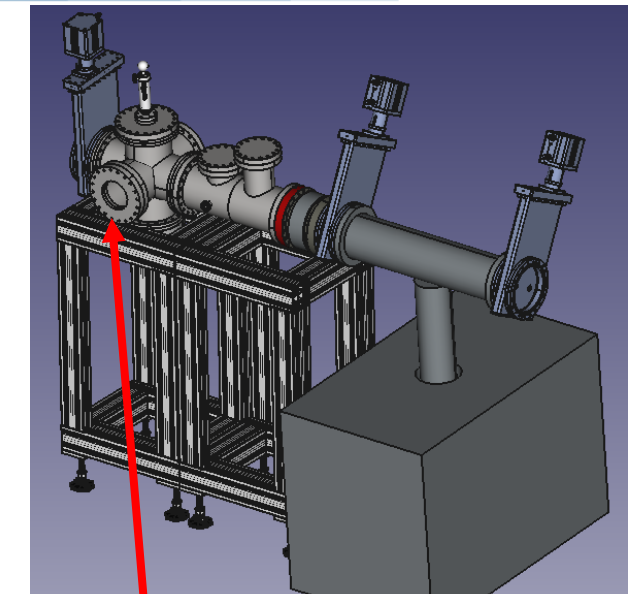
# Maxime Duva (L3)

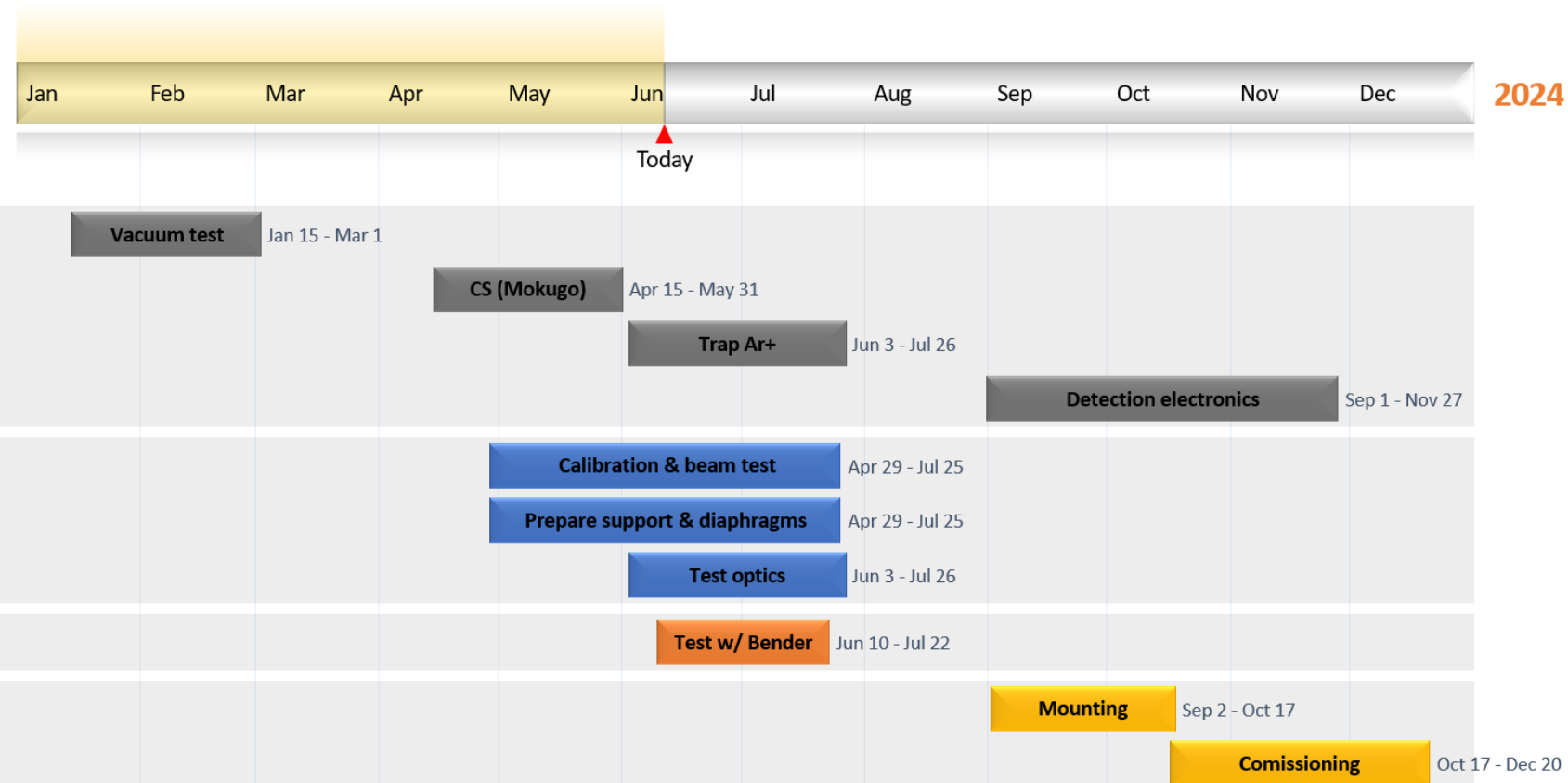


Michele Sguazzin  
(postdoc in2p3)



Micke et al, Rev. Sci. Instrum. 89, 063109 (2018);  
e- gun: 4mA, 2.8keV  
Electron gun operation up to 80mA and 10keV





## Financements:

IJCLab (2023)

ERM (2024)

ANR (en cours)

R&T in2p3? (140k€)

## Demande 2025:

- Ouverture ligne budgétaire HINA
- 3,5 kEUR Missions MPIK pour M. Sguazzin, M. Benhatchi, A. Migayron, D. Reynet et S. Naimi
- 3 kEUR Fonctionnement (Recharge source + Gaz Argon)